

01; 04; 12

## МЕТОД ПЛОСКОГО ОДНОСТОРОННЕГО ЗОНДА ДЛЯ ДИАГНОСТИКИ АНИЗОТРОПНОЙ ПЛАЗМЫ

*В. Ф. Лапшин, А. С. Мустафаев*

Проанализирован метод реконструкции полной функции распределения электронов по скоростям (ФРЭС) и ее лежандровых компонент в аксиально-симметричной плазме с произвольной степенью анизотропии. Метод основан на измерении значений второй производной зондового тока плоского одностороннего зонда по потенциалу при различной его ориентации относительно оси симметрии плазмы.

Определены оптимальные углы ориентации зонда и обосновано необходимое число этих ориентаций для реконструкции лежандровых компонент ФРЭС заданного ранга. Приведены формулы расчета погрешностей метода с учетом погрешности экспериментальных данных.

На примере модельной задачи показана работоспособность предлагаемого метода определения ФРЭС в плазме с произвольной степенью анизотропии.

### Введение

Интерес к явлениям в анизотропной плазме возник в течение последних десятилетий в связи с многочисленными применениями низкотемпературной плазмы и прежде всего с широким развитием плазменной электроники [1-4].

Кинетика электронного газа в плазме описывается функцией распределения электронов по скоростям (ФРЭС), вид которой существенно зависит от степени анизотропии движения электронов. Моменты анизотропной ФРЭС определяют такие важные кинетические параметры, как концентрацию и дрейфовую скорость электронов, константы скоростей возбуждения и ионизации, тензор плотности потока импульса электронов, компоненты интеграла электронных столкновений [5] и др.

В связи с отсутствием экспериментальных методов до настоящего времени информацию об анизотропных ФРЭС в плазме получали преимущественно теоретически [6-11], путем решения кинетического уравнения Больцмана с использованием лоренцевского и трехтермового разложения ФРЭС, хотя делались и некоторые экспериментальные попытки [12-14].

В настоящее время разрабатывается метод [15-18], позволяющий экспериментально определять конечное число моментов функции распределения и восстановить полную ФРЭС в анизотропной плазме. Авторы [15-18] необоснованно сузили диапазон условий применимости метода необходимостью априорной информации о степени анизотропии ФРЭС в плазме.

В предлагаемой работе математически обоснован метод реконструкции полной ФРЭС и ее лежандровых компонент в плазме с произвольной степенью анизотропии. Определены оптимальные значения и необходимое число углов ориентации плоского одностороннего зонда относительно оси симметрии плазмы. Выполнен расчет погрешности метода с учетом погрешности экспериментальных данных.

На примере модельной задачи проведен анализ точности реконструкции ФРЭС с произвольной степенью анизотропии и устойчивости метода по отношению к погрешности экспериментальных измерений.

Метод реконструкции ФРЭС и ее лежандровых компонент разрабатывается для случая аксиально-симметричной, стационарной и локально-однородной плазмы. В сферической системе координат с полярной осью, направленной вдоль оси симметрии плазмы, ФРЭС не зависит от азимутального угла, пространственных и временной переменных

$$f(v) = f(\epsilon, \theta), \quad (1)$$

где  $v = |v|$ ,  $\theta$  — полярный угол.

Метод основан на измерении плоским односторонним зондом величины второй производной тока на зонд по потенциалу  $J''_U$  и последующем расчету ФРЭС и ее лежандровых компонент [14]. Приведем краткий вывод исходных расчетных уравнений.

Измеряемые величины  $J''_U$  связаны с ФРЭС следующим соотношением [14]:

$$J''_U(eU, \alpha) = \frac{2\pi e^3 S}{m^2} \left[ f(eU, \alpha) - \frac{1}{2\pi} \int_0^{2\pi} d\varphi \int_{eU}^{\infty} d\epsilon \frac{\partial}{\partial(eU)} f(\epsilon, \theta_{\max}) \right], \quad (2)$$

где

$$f(\epsilon, \theta) \equiv f\left(\sqrt{\frac{2\epsilon}{m}}, \theta\right), \quad \cos \theta_{\max} = \sqrt{\frac{eU}{\epsilon}} \cos \alpha + \sqrt{1 - \frac{eU}{\epsilon}} \sin \alpha \cos \varphi,$$

$\alpha$  — угол между нормалью к непроводящей поверхности зонда и осью симметрии плазмы,  $e$  и  $m$  — заряд и масса электрона,  $U$  — задерживающий потенциал зонда относительно плазмы,  $S$  — площадь токопринимающей поверхности зонда.

Предполагая функции  $f(eU, \theta)$  и  $J''_U(eU, \alpha)$  дважды дифференцируемыми по углу, разложим их в ряды по полиномам Лежандра, которые сходятся при указанных условиях абсолютно и равномерно

$$f(eU, \theta) = \sum_{j=0}^{\infty} f_j(eU) P_j(\cos \theta), \quad (3)$$

$$J''_U(eU, \alpha) = \frac{2\pi e^3 S}{m^2} \sum_{j=0}^{\infty} F_j(eU) P_j(\cos \alpha). \quad (4)$$

Уравнение (2) позволяет получить соотношение, связывающее коэффициенты разложения  $f_j(eU)$  и  $F_j(eU)$

$$F_j(eU) = f_j(eU) - \int_{eU}^{\infty} f_j(\epsilon) \frac{\partial}{\partial(eU)} P_j\left(\sqrt{\frac{eU}{\epsilon}}\right) d\epsilon. \quad (5)$$

Используя резольвенту интегрального уравнения (5), можно разрешить его относительно функций  $f_j$  [19]

$$f_j(eU) = F_j(eU) + \int_{eU}^{\infty} F_j(\epsilon) R_j(eU, \epsilon) d\epsilon, \quad (6)$$

где

$$R_j(eU, \epsilon) = \frac{2^{-(j+1)}}{eU} \sum_{k=0}^{\lfloor \frac{j}{2} \rfloor} a_{kj} \left(\frac{\epsilon}{eU}\right)^{\frac{j-2k-1}{2}}, \quad j=0, 1, 2, \dots,$$

$$a_{kj} = (-1)^k \frac{(2j-2k)! (j-2k)}{k! (j-k)! (j-2k)!}, \quad \left\lfloor \frac{j}{2} \right\rfloor = \begin{cases} \frac{j-1}{2} & \text{для нечетных } j, \\ \frac{j}{2} & \text{для четных } j. \end{cases}$$

Укажем здесь явный вид первых трех резольвент

$$R_0(eU, \varepsilon) \equiv 0, \quad R_1(eU, \varepsilon) = (2eU)^{-1}, \quad R_2(eU, \varepsilon) = 3\varepsilon^{1/2}(eU)^{-3/2}/2.$$

Для анализа уравнений (3), (4), (6) и проведения численных расчетов на ЭВМ приведем их к безразмерному виду. С этой целью введем новые переменные, помеченные символом «звездочка», по формулам

$$\varepsilon = \varepsilon_R \varepsilon^*, \quad \varepsilon_R = 1.6022 \times 10^{-19} \text{ Дж} = 1 \text{ эВ}, \quad eU = \varepsilon_R U^*,$$

$$J''_U(eU, \alpha) = J_R J''_U(U^*, \alpha), \quad F_j(eU) = F_R F_j^*(U^*), \quad F_R = \frac{m^2}{2\pi e^3 S} J_R,$$

$$f_j(eU) = F^j f_j^*(U^*), \quad R_j(eU, \varepsilon) = \varepsilon_R^{-1} R_j^*(U^*, \varepsilon^*).$$

При реальных расчетах величину  $J_R$  удобно принять равной масштабному множителю прибора, регистрирующего размерную величину  $J''_U(eU, \alpha)$ . Далее (это не оговорено специально) фигурируют только безразмерные величины, поэтому символ «звездочка» опускаем.

Теперь исходные уравнения приобретают вид

$$J''_U(U, \alpha) = \sum_{j=0}^{\infty} F_j(U) P_j(\cos \alpha), \quad (7)$$

$$f_j(U) = F_j(U) + \int_U^{\infty} F_j(\varepsilon) R_j(U, \varepsilon) d\varepsilon, \quad (8)$$

$$f(U, \theta) = \sum_{j=0}^{\infty} f_j(U) P_j(\cos \theta). \quad (9)$$

Зондовый метод диагностики анизотропной плазмы заключается в измерении значений  $J''_U$  и последующем расчете по уравнениям (7), (8), (9) последовательно величин  $F_j$ ,  $f_j$  и  $f$ . Проанализируем полученные уравнения.

## 2. Определение коэффициентов $F_j$

Определение коэффициентов  $F_j$  может производиться независимо для каждого  $U$  из некоторого заданного набора значений потенциала. Поэтому для краткости записи временно опустим переменную  $U$ . Коэффициенты  $F_j$  могут быть определены двумя способами.

Первый заключается в непосредственном использовании представления коэффициентов  $F_j$  при разложении  $J''_U$  в ряд по полиномам Лежандра

$$F_j = \frac{2j+1}{2} \int_{-1}^1 J''_U(x) P_j(x) dx. \quad (10)$$

Интеграл (10) при этом заменяется какой-либо квадратурной формулой. Если рассматривать  $P_j(x)$  в качестве весовой функции и использовать квадратурную формулу с алгебраической степенью точности не ниже интерполяционной, то получаем

$$F_j \approx \frac{2j+1}{2} \int_{-1}^1 S_N(x) P_j(x) dx = \frac{2j+1}{2} \sum_{k=1}^N A_k^{(j)} J''_U(x_k), \quad (11)$$

где

$$S_N(x) = \sum_{i=1}^N \frac{\omega(x)}{(x-x_i)\omega'(x_i)} J''_U(x_i)$$

— интерполяционный многочлен Лагранжа;  $\omega(x) = (x-x_1) \cdot \dots \cdot (x-x_N)$ ;  $\{x_i\}$  — система узлов, используемая при численном интегрировании;  $N$  — число узлов,

$$A_k^{(j)} = \int_{-1}^1 \frac{\omega(x)}{(x-x_k)\omega'(x_k)} P_j(x) dx.$$

Применение той же квадратурной формулы с постоянной весовой функцией, равной единице, дает

$$F_j \approx \frac{2j+1}{2} \sum_{i=1}^N C_i J_U''(x_i) P_j(x_i),$$

$$C_i = \int_{-1}^1 \frac{\omega(x)}{(x-x_i)\omega'(x_i)} dx. \quad (12)$$

Всякая квадратурная формула точности ниже интерполяционной будет также иметь вид (12), но с другими коэффициентами  $C_i$ .

Второй способ заключается в замене бесконечной суммы ряда (7) на конечную  $J_U''(x) \approx I_N(x) = \sum_{j=0}^{N-1} F_j P_j(x)$ . Это позволяет определить  $F_j$  из системы линейных уравнений

$$J_U''(x_i) = I_N(x_i) = \sum_{j=0}^{N-1} F_j P_j(x_i), \quad i=1, 2, \dots, N. \quad (13)$$

Отметим, что определитель этой системы отличен от нуля для любого набора попарно различных значений  $x_i$ ,  $-1 \leq x_i \leq 1$ . Это означает, что существует единственное решение системы уравнений (13). Найдём его явный вид. Для этого учтём, что полиномы  $S_N$  и  $I_N$  порядка  $N-1$  совпадают в  $N$ -точках, а значит тождественно равны

$$\sum_{j=0}^{N-1} F_j P_j'(x) \equiv \sum_{i=1}^N \frac{\omega(x)}{(x-x_i)\omega'(x_i)} J_U''(x_i).$$

Из последней формулы получаем выражение для  $F_j$

$$F_j = \frac{2j+1}{2} \int_{-1}^1 \sum_{i=1}^N \frac{\omega(x)}{(x-x_i)\omega'(x_i)} J_U''(x_i) P_j(x) dx = \frac{2j+1}{2} \sum_{i=1}^N A_i^{(j)} J_U''(x_i). \quad (14)$$

Формула (14) показывает, что точное решение системы линейных уравнений (13) задается квадратурной формулой (11).

Отметим, что оба способа определения  $F_j$  исходят из формулы (10) и требуют только достаточной степени гладкости угловой зависимости  $J_U''(x)$ . Таким образом, предлагаемая методика определения  $F_j$  свободна от ограничений, связанных с априорной информацией о степени анизотропии ФРЭС.

Погрешность обоих способов определения  $F_j$  сводится к погрешности процедуры замены интеграла (10) квадратурными формулами (11) или (12). Поскольку угловая структура интегрируемой в (10) функции  $J_U''$  тесно связана, как это видно из (2), с угловой структурой исходной функции распределения, то такая погрешность в случае сильноанизотропной плазмы может быть, вообще говоря, весьма большой. Чтобы сделать эту погрешность минимальной, необходимо проводить измерения плоским зондом при таких его ориентациях относительно оси симметрии плазмы, для которых величина  $J_U''(x)$  имеет локальные экстремумы. В аксиально-симметричной плазме единственным выделенным направлением является ось симметрии. Поэтому в систему узлов должны входить соответствующие углам  $\alpha=0$  и  $\alpha=\pi$  значения косинусов  $x=1$  и  $x=-1$ .

Для первого способа наименьшую погрешность будут иметь квадратурные формулы Маркова, обладающие наивысшей алгебраической степенью точности среди формул вида (12) с узлами  $x=-1$  и  $x=1$ . Для второго способа наиболее точный результат достигается для системы узлов, при которой матрица линей-

ной системы (13) наилучшим образом обусловлена. Такой системой является набор равноотстоящих друг от друга значений углов на отрезке  $[0, \pi]$

$$\alpha_i = \pi \frac{i-1}{N}, \quad i = 1, 2, \dots, N.$$

Более подробный анализ применения этих формул приводится ниже при решении модельной задачи.

### 3. Определение лежандровых компонент функции распределения электронов и оценка погрешностей метода

Для определения лежандровых компонент  $f_j(U)$  используется уравнение (8). Интеграл в (8) имеет особенность в нуле, поэтому интегрирование ведется от некоторого минимального значения энергии  $U_{\min}$  по всему промежутку  $[U_{\min}, U_{\max}]$ , вне которого величина  $J_U''(U, \alpha)$  оказывается меньше порога чувствительности приборов экспериментальной установки и принимается равной нулю. Вычисление интеграла в (8) удобно производить по формулам трапеции и Симпсона. При этом шаг интегрирования, а значит, и шаг по потенциалу зонда при измерении  $J_U''(U, \alpha)$  выбираются таким образом, чтобы расхождение результатов было незначительным. Тогда влиянием погрешности, возникающей при замене интеграла в (8) квадратурной формулой, на значение величины  $f_j$  можно пренебречь.

Приступая к оценке погрешностей, отметим, что систематическая ошибка при измерении  $J_U''$  не оказывает влияния на значения определяемых величин  $F_j$  для  $1 \leq j \leq 2N-3$  при использовании формул Маркова и для  $1 \leq j \leq N-1$  при решении линейной системы (13). Это вытекает из свойств ортогональности полиномов Лежандра и формул (11), (12). Для определения величины  $F_0$  необходимо исключить систематическую ошибку из исходных значений  $J_U''$ . Последнее трудно сделать, если учесть, что при больших значениях энергии величины  $J_U''(U, \alpha)$  и  $F_0(U)$  должны быть практически равны нулю.

Обозначим теперь через  $\Delta$ ,  $\Delta_{F_j}$  и  $\Delta_{f_j}$  погрешности экспериментальных данных, коэффициентов  $F_j$  и  $f_j$  соответственно. Тогда, используя известные оценки погрешности при численном решении систем линейных уравнений [20], а также формул (8) и (11), получаем

$$\begin{aligned} \Delta_{F_j} &\leq (2j+1)\Delta \quad \text{при использовании формул Маркова,} \\ \Delta_{F_j} &\leq (\lambda_{\min})^{-1/2}\Delta \quad \text{при решении линейной системы (13),} \end{aligned} \quad (15)$$

$$\Delta_{f_j}(U) \leq \Delta_{F_j} \left[ 1 + \int_U^{U_{\max}} R_j(U, \epsilon) d\epsilon \right].$$

Здесь  $\lambda_{\min}$  — наименьшее из собственных чисел матрицы  $A^T A$ ,  $A = \{a_{ij}\} = \{P_{j-1}(\cos \alpha_i)\}$  — матрица линейной системы (13),  $A^T$  — транспонированная по отношению к  $A$  матрица. Значения величины  $(\lambda_{\min})^{-1/2}$  для системы равноотстоящих углов при  $N=3, 4, 5$  составляют соответственно 1.0, 1.1, 1.2.

На рис. 1 представлены в полулогарифмическом масштабе графики величин  $f_j(U/U_{\max}) = \int_U^{U_{\max}} R_j(U, \epsilon) d\epsilon$ . Как видно, интервал энергий  $[U_{\min}, U_{\max}]$  для которого погрешности вычисляемых величин  $f_j$  находятся в разумных

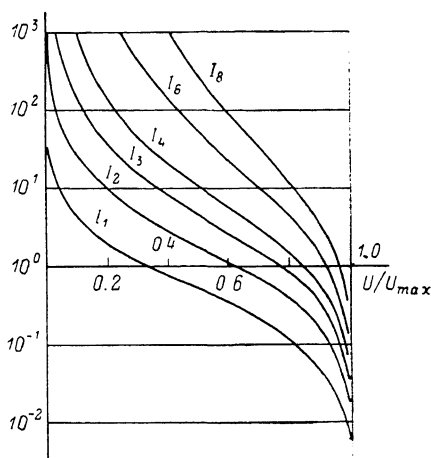


Рис. 1.

пределах, сужается с увеличением  $j$ . Поэтому число лежандровых компонент  $f_j$ , которое может быть найдено с помощью предлагаемого метода, ограничено и зависит от уровня точности эксперимента.

#### 4. Решение модельной задачи

Решение модельной задачи проводилось с целью определения погрешности метода, предлагаемого для нахождения лежандровых компонент  $f_j$ , а также с целью изучения возможности восстановления полной ФРЭС и влияния экспериментальных погрешностей на результаты вычислений.

В качестве модельной была выбрана ФРЭС, описывающая пучок быстрых электронов в максвелловской плазме<sup>1</sup> и имеющая в размерной форме вид

$$f(v) = f(\epsilon, \theta) = n_m \left( \frac{m}{2\pi k T_m} \right)^{3/2} \left[ \exp\left(-\frac{\epsilon}{k T_m}\right) + \gamma_1 \exp\left\{-\left(\frac{\epsilon - \epsilon_0}{\gamma_2}\right)^2 + \frac{\cos \theta - 1}{\beta}\right\}\right]. \quad (16)$$

Здесь медленные электроны задаются концентрацией  $n_m$  и температурой  $T_m$ . Характеристики пучка быстрых электронов определяют параметры:  $\beta$  — степень анизотропии,  $\epsilon_0$  — средняя энергия,  $\gamma_2$  — характерная полуширина пучка в пространстве энергий. ФРЭС нормирована на концентрацию

$$\int f(v) dv = n_m (1 + \xi), \quad \xi = \frac{n_0}{n_m},$$

$n_0$  — концентрация быстрых электронов пучка. Параметр  $\gamma_1$  задавался через соотношение концентраций  $n_0$  и  $n_m$ :

$$\gamma_1 = \xi \frac{(k T_m)^{3/2} \sqrt{\pi}}{\beta [1 - \exp(-2/\beta)]} \times$$

$$\times \left[ \int_0^{\infty} \sqrt{\epsilon} \exp\left\{-\left(\frac{\epsilon - \epsilon_0}{\gamma_2}\right)^2\right\} d\epsilon \right]^{-1}.$$

Далее приведем обезразмеривание, как описано в разделе 1. В результате ФРЭС (16) приводится к виду

$$f(\epsilon, \theta) = \exp\left(-\frac{\epsilon}{T_m}\right) + \gamma_1 \exp\left\{-\left(\frac{\epsilon - \epsilon_0}{\gamma_2}\right)^2\right\} \exp\left\{\frac{\cos \theta - 1}{\beta}\right\}. \quad (17)$$

После этого по формуле (2) рассчитывались значения  $J_v''(U, \alpha)$ . При этом вычисления проводились для набора равноотстоящих углов  $\alpha_i = \pi (i-1/N)$  и углов, косинусы которых совпадают с узлами квадратурной формулы Маркова. Величина энергии  $U$  принимала все значения от  $U_{\min}$  до  $U_{\max}$  с шагом  $\Delta U$ . За  $U_{\min}$  принималась величина  $\Delta U$ , а значение  $U_{\max}$  находилось как минимальное  $U$ , удовлетворяющее неравенствам  $U > \epsilon_0$  и  $J_v''(U + \Delta U, 0)/J_v''(\epsilon_0, 0) \leq 10^{-4}$ . Дальнейшие расчеты проведены для значений параметров  $\epsilon_0 = 10$ ,  $T_m = 1$ ,  $\gamma_2 = 0.5$ , при этом  $U_{\max} = 12$ .

На рис. 2 приведены виды угловой зависимости  $f(\epsilon_0, \theta)$  для различных степеней анизотропии, а на рис. 3, а — соответствующие им энергетические зависимости  $J_v''(U, 0)$ . Величины  $J_v''$ , рассчитанные для модельной ФРЭС (17), хорошо согласуются с результатами экспериментальных измерений в плазме низковольтного пучкового разряда в гелии (рис. 3, б). Из рис. 3, а видно, что уменьшение степени анизотропии электронов пучка приводит к исчезновению области энергий, где значения  $J_v''(U, 0)$  отрицательны. Это соответствует про-

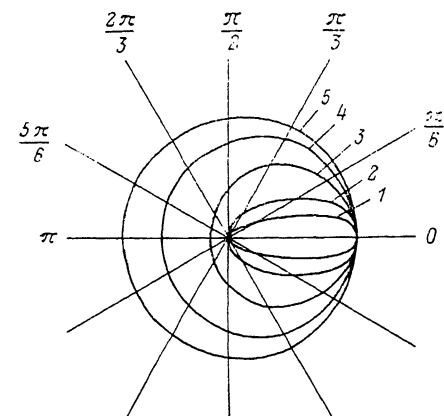


Рис. 2. Угловая зависимость модельной ФРЭС при энергии  $\epsilon = \epsilon_0 = 10$  для различных степеней анизотропии.

β: 1 — 0.1, 2 — 0.3, 3 — 1.0, 4 — 3.0, 5 — 10.0.

<sup>1</sup> ФРЭС, подобная модельной, наблюдается в плазме низковольтной пучковой дуги в инертных газах [17].

цессу изотропизации пучка электронов при их движении вдоль оси газового разряда (рис. 3, б).

Погрешность метода реконструкции ФРЭС и ее лежандровых компонент определяется погрешностью процедуры замены интеграла в (10) квадратурной формулой (11) или (12) при нахождении  $F_j$  и погрешностью процедуры обрывания ряда в (9) при восстановлении ФРЭС.

Численный анализ описанных в разделе 2 способов определения величин  $F_j$  проводился при  $U = \varepsilon_0$ , так как при этом значении энергии зависимость

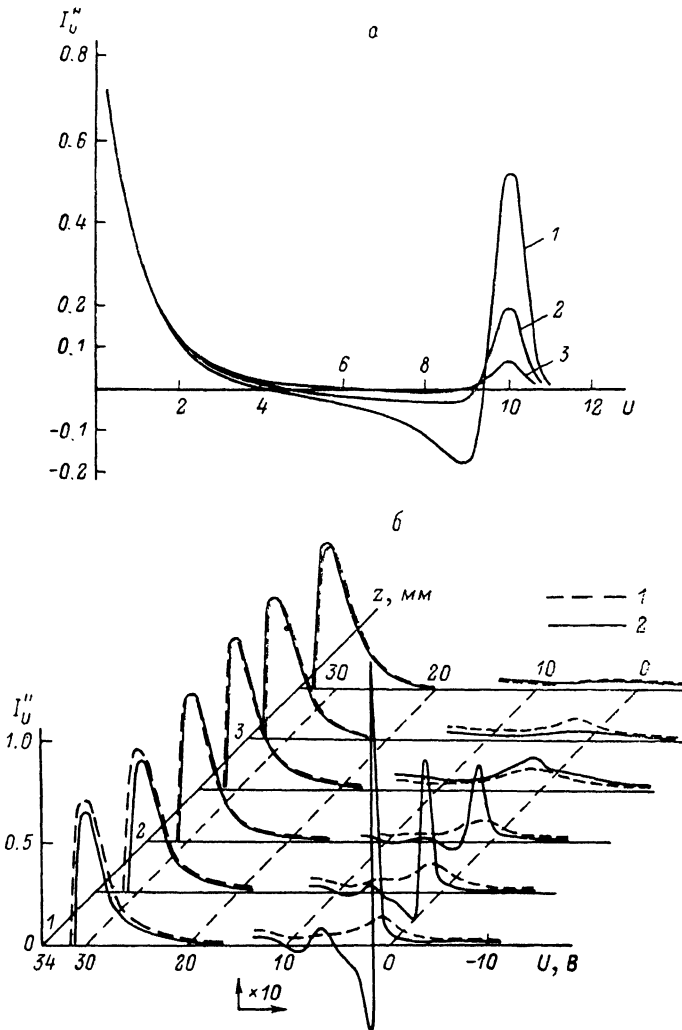


Рис. 3. Энергетическая зависимость  $J''_U$  для модельной ФРЭС при  $\xi = n_6/n_x = 0.1$  и  $\alpha = 0^\circ$  для различных степеней анизотропии  $\beta$  (1 — 0.1, 2 — 0.3, 3 — 1.0) (а) и экспериментальные значения для низковольтного пучкового разряда в гелии  $p_{He} = 1$  Тор, ток разряда  $i = 0.4$  А (б).

Нормаль к поверхности зонда параллельна (2) и перпендикулярна (1) оси разрядного промежутка.

от угла величины  $J''_U(U, \alpha)$  наиболее сильна. Результаты можно сформулировать следующим образом. Точность определения  $F_j$  зависит от числа используемых узлов, т. е. от числа ориентаций зонда при измерении  $J''_U$ . Причем при  $N \leq 5$  несколько более точным является способ решения линейной системы, а при  $N \geq 6$  — формулы Маркова. Число узлов определяется тремя факторами: необходимым количеством определяемых коэффициентов  $F_j$ , характером зависимости  $J''_U$  от угловой переменной и требуемой точностью. В таблице для каждого из первых пяти коэффициентов  $F_j$  для различных степеней анизотро-

ии приведено наименьшее число узлов, при котором точность методики их определения составляет 1% и 0.1 %.

Для определения лежандровых компонент  $f_j$  для шага по энергии  $\Delta U = 0.2$  погрешность процедуры численного интегрирования в (8) не превосходит

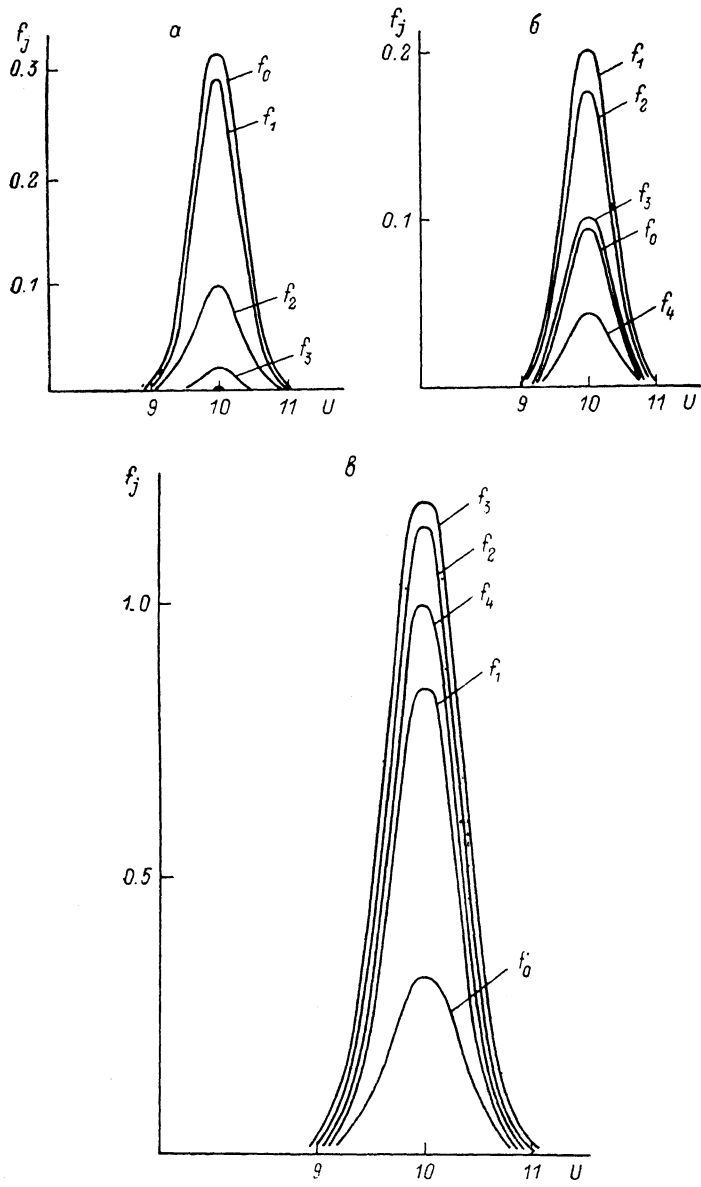


Рис. 4. Энергетическая зависимость лежандровых компонент  $f_j$  для модельной ФРЭС при различных степенях анизотропии  $\beta$  и соотношениях концентраций  $n_c/n_m = \xi$ .

а:  $\beta=1.0, \xi=1.0$ ; б:  $\beta=0.3, \xi=0.3$ ; в:  $\beta=0.1, \xi=1.0$ ; г —  $f_j$ , рассчитанные по экспериментальным данным (произвольные единицы),  $p_{He}=2$  Тор, разрядный ток  $i=0.13$  А,  $U=24.6$  В. Плоский зонд расположен в прикатодном слое на расстоянии длины свободного пробега электронов.

при различных степенях анизотропии  $\beta=0.1-10$  погрешности способов определения коэффициентов  $F_j$ . На рис. 4, а-в приведены виды энергетической зависимости первых пяти лежандровых компонент для различных степеней анизотропии.

Значения компонент  $f_j$ , рассчитанные для  $\beta=1.0$  при  $N=5$ ,  $\beta=0.3$ : при  $N=7$  и для  $\beta=0.1$  при  $N=9$ , в масштабе рис. 4 практически не отличаются от точных. На рис. 4, г даны для сравнения кривые энергетической зависимости



$f_0-f_3$ , реконструированные по описанной методике в плазме гелиевого низковольтного пучкового разряда.

Далее рассматривалась возможность реконструкции полной ФРЭС для ограниченного числа  $N$  ориентаций зонда при измерении величины  $J_V''(U, \alpha)$ . Для этого при заданном  $N$  производился расчет значений  $J_V''(U_k, \alpha_i)$ , где  $U_k = k \Delta U$  ( $\Delta U = 0.2$ ,  $k=1, 2, \dots$ ),  $U_{\max}/\Delta U$ ,  $\{\alpha_i\}$  — система равноотстоящих углов при  $N \leq 5$ , а при  $N \geq 6$  — система углов, косинусы которых совпадают

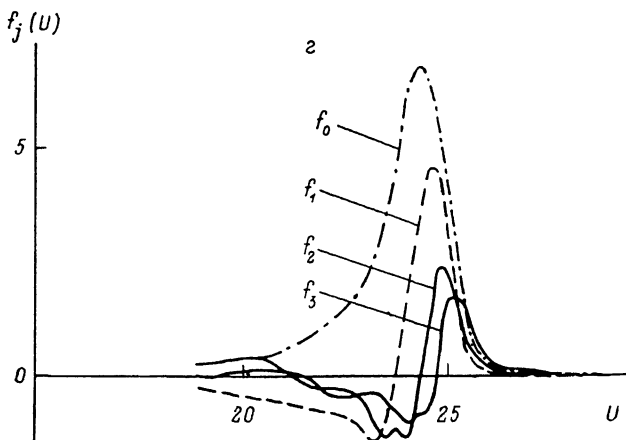


Рис. 4 (продолжение).

с узлами квадратурной формулы Маркова. Далее, согласно описанной методике, вычислялись величины  $F_j$  и  $f_j$ . Значения полной ФРЭС определялись по первым  $N$  лежандровым компонентам

$$f(U, \theta) = \sum_{j=0}^{N-1} f_j(U) P_j(\cos \theta).$$

На рис. 5, а, б приведены результаты численного анализа для различных  $N$ . Хорошо видно, что с увеличением  $N$  расчетные кривые довольно быстро приближаются к точным.

**Минимальное число ориентаций плоского одностороннего зонда, необходимое для достижения требуемой точности метода определения коэффициентов  $F_j$**

|       | Точность метода 1 % |             |               |               | Точность метода 0.1 % |             |               |               |
|-------|---------------------|-------------|---------------|---------------|-----------------------|-------------|---------------|---------------|
|       | $\beta = 3$         | $\beta = 1$ | $\beta = 0.3$ | $\beta = 0.1$ | $\beta = 3$           | $\beta = 1$ | $\beta = 0.3$ | $\beta = 0.1$ |
| $F_0$ | 3                   | 3           | 5             | 7             | 3                     | 5           | 5             | 9             |
| $F_1$ | 3                   | 5           | 5             | 7             | 5                     | 5           | 7             | 9             |
| $F_2$ | 3                   | 3           | 5             | 7             | 3                     | 5           | 7             | 9             |
| $F_3$ | —*                  | 5           | 7             | 9             | —                     | 7           | 7             | 9             |
| $F_4$ | —                   | 5           | 7             | 9             | —                     | 9           | 9             | 11            |

\* Не восстанавливается ввиду малости в сравнении с предыдущими коэффициентами.

Таким образом, предлагаемый метод реконструкции ФРЭС и ее лежандровых компонент обеспечивает хорошую точность результатов при относительно небольшом числе ориентаций зонда даже в случае сильноанизотропной плазмы.

С целью изучения влияния экспериментальных погрешностей на вычисленные значения  $f_j(U)$  и  $f(U, \theta)$  на величину  $J_V''(U, \alpha)$  накладывались случайные ошибки, имеющие нормальное распределение с математическим ожиданием  $Mx=0$  и дисперсией  $Dx=\sigma$ , и систематическая ошибка  $t$

$$\tilde{J}_V''(U, \alpha) = J_V''(U, \alpha)(1+x) + \frac{1}{30} J_V''(\epsilon_0, 0)x + t.$$

Дисперсия  $\sigma$  изменялась в пределах от  $10^{-3}$  до 0.1, а величина  $t$  — от  $-J_V''(\epsilon_0, 0)$  до  $J_V''(\epsilon_0, 0)$ . По полученным таким образом исходным «экспериментальным» данным находились коэффициенты  $F_j$  и лежандровы компоненты  $f_j$ . Число ориентаций зонда выбиралось из таблицы так, чтобы погрешность

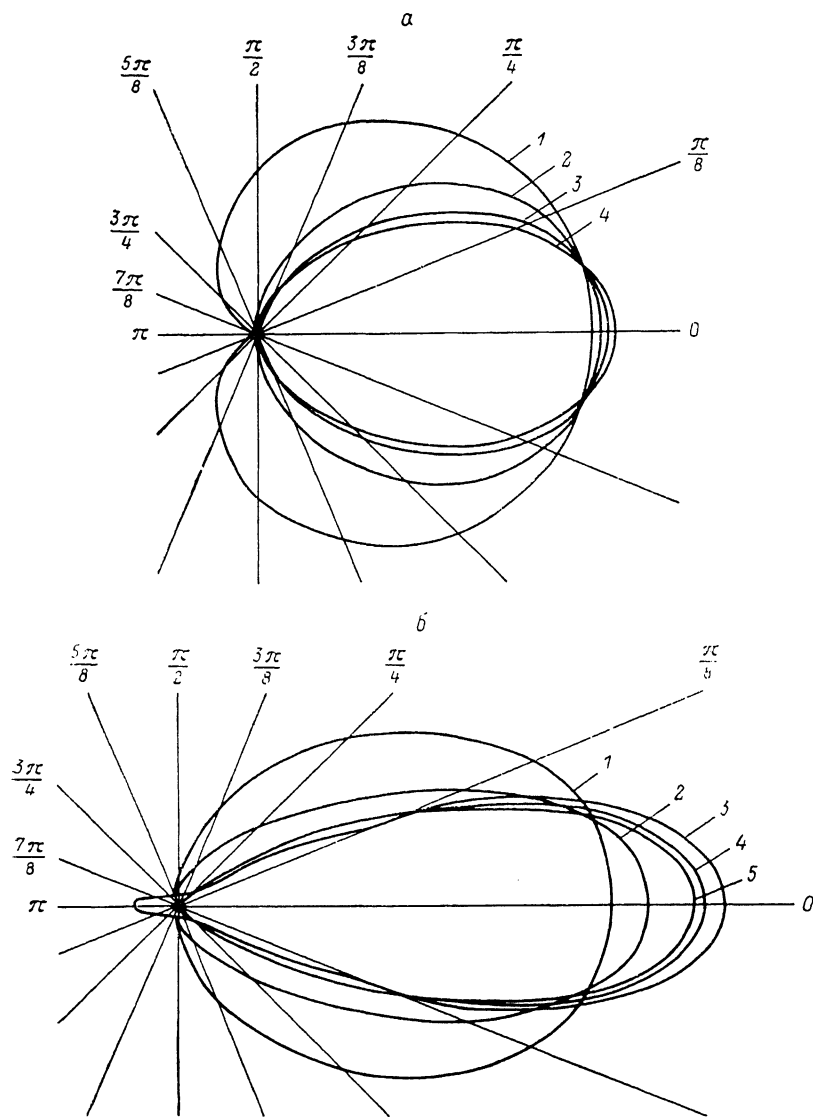


Рис. 5. Угловая зависимость полной ФРЭС, рассчитанная для разного числа ориентаций зонда  $N$  при разных степенях анизотропии  $\beta$ .

$\alpha$ :  $\beta=0.3$ ,  $N$ : 1 — 2, 2 — 3, 3 — 4, 4 — точная ФРЭС;  $\beta$ :  $\beta=0.1$ ,  $N$ : 1 — 3, 2 — 5, 3 — 7, 4 — 9, 5 — точная ФРЭС.

метода была меньше дисперсии погрешности исходных данных  $\epsilon$ . Рассчитанные значения  $\tilde{f}_j$  сравнивались с точными величинами  $f_j$ , определенными по формуле

$$f_j(U) = \frac{2j+1}{2} \int_{-1}^1 f(U, \theta) P_j(\cos \theta) d \cos \theta.$$

Как и следовало ожидать, систематическая ошибка  $t$  не оказывает практически никакого влияния на компоненты  $\tilde{f}_j$ . Если принять за исходную «экспериментальную» ошибку величину  $\Delta = \sigma J_V''(\epsilon_0, 0)$ , то погрешность вычисленных

значений  $\tilde{f}_j(U)$  всегда с большим запасом удовлетворяет соотношению (15). По найденным первым  $N$  лежандровым компонентам восстанавливалась полная функция распределения  $\tilde{f}(U, \theta)$ . При этом учитывались только те компоненты  $\tilde{f}_j$ , значения которых удовлетворяли неравенству  $|\tilde{f}_j(U)| > \Delta_{f_j}(U)$

$$\tilde{f}(U, \theta) = \sum_{j=0}^k \tilde{f}_j(U) P_j(\cos \theta), \quad k \leq N-1. \quad (18)$$

Численный анализ показывает, что исходные ошибки величины  $J''_{ij}$  слабо влияют на процесс сходимости расчетных величин  $\tilde{f}$  к точным. Так, кривые угловой зависимости  $\tilde{f}(\varepsilon_0, \theta)$ , определенные для различных  $N$ , при  $\sigma < 0.05$  в масштабе рис. 5, а, б практически сливаются с соответствующими кривыми  $\tilde{f}(\varepsilon_0, \theta)$ , рассчитанными для точных исходных данных.

Погрешность  $\tilde{f}(U, \theta)$  всегда удовлетворяет неравенству  $\Delta_f(U) \leq \Delta_{f_k}(U)$ , где  $k$  — индекс последней учитываемой в сумме (18) компоненты.

### Заключение

В настоящей работе проанализирован зондовый метод диагностики анизотропной плазмы. Показано, что анизотропная ФРЭС и ее лежандровые компоненты могут быть определены методом плоского одностороннего зонда в аксиально-симметричной плазме в отсутствие априорной информации о ее степени анизотропии. Предлагаемый метод обеспечивает хорошую точность результатов при проведении измерений для ограниченного числа ориентаций зонда в плазме. Метод является устойчивым по отношению к ошибкам экспериментальных измерений. Влияние погрешностей эксперимента на результаты расчетов может быть учтено по соответствующим формулам.

В заключение авторы выражают свою признательность Ф. Г. Бакшту за внимание к работе и полезные обсуждения ее результатов.

### Литература

- [1] Иванюк А. А. Физика сильнонеравновесной плазмы. М.: Атомиздат, 1977. 352 с.
- [2] Файнберг Я. Б. // Атомная энергия. 1961. Т. 11. № 4. С. 313—335.
- [3] Кузнецов М. В., Рухадзе А. А. Неравновесные и резонансные процессы в плазменной радиофизике. М.: Наука, 1982. 271 с.
- [4] Биберман Л. М., Воробьев В. С., Якубов И. Т. Кинетика неравновесной низкотемпературной плазмы. М.: Наука, 1982. 375 с.
- [5] Голант В. Е., Жулинский А. П., Сазаров С. А. Основы физики плазмы. М.: Атомиздат, 1977. 383 с.
- [6] Хаксли Л., Кромптон Р. Диффузия и дрейф электронов в газе. М.: Мир, 1977. 890 с.
- [7] Kitamori K., Tagashira H., Sakai Y. // J. Phys. D. 1978. N 11. P. 283—292.
- [8] Makabe T., Mori T. // J. Phys. D. 1980. Vol. 13. P. 387—396.
- [9] Makabe T., Mori T. // Trans. IEE of Japan. 1982. Vol. 102. N 11/12. P. 101—108.
- [10] Winkler R., Braglia G. L., Hess A., Wilhelm J. // Beitr. Plasmophys. 1984. Vol. 24. N 6. P. 657—674.
- [11] Winkler R., Braglia G. L., Hess A., Wilhelm J. // Beitr. Plasmophys. 1985. Vol. 25. N 4. P. 351—378.
- [12] Makabe T., Goto T., Mori T. // J. Phys. B. 1977. Vol. 10. P. 1781—1787.
- [13] Makabe T., Mori T. // J. Phys. B. 1978. Vol. 11. P. 3785—3793.
- [14] Baraff G. A., Buchsbaum S. J. // Phys. Rev. 1963. Vol. 130. P. 1007—1019.
- [15] Мезенцев А. П., Мустафаев А. С., Федоров В. Л. // ЖТФ. 1985. Т. 55. Вып. 3. С. 544—549.
- [16] Федоров В. Л. // ЖТФ. 1985. Т. 55. Вып. 5. С. 926—929.
- [17] Мезенцев А. П., Мустафаев А. С. // ЖТФ. 1985. Т. 55. Вып. 11. С. 2232—2235.
- [18] Мезенцев А. П., Мустафаев А. С., Лапшин В. Ф., Федоров В. Л. // ЖТФ. 1986. Т. 56. Вып. 11. С. 2104—2110.
- [19] Федоров В. Л., Мезенцев А. П. // ЖТФ. 1987. Т. 57. Вып. 3. С. 595—597.
- [20] Березин И. С., Жидков Н. П. Методы вычислений. Т. 1. М.: Наука, 1966. 632 с.